

Traitement
Poumon
ND
ADN
Threshold Cycle
Biosécurité
LIT
Bactérienne
Fluorescence
Melting peak
E.coli
BI
Vaccination
VIA
ARN
Metapneumovirus
Respiratoire
Positif
PCR
Tunisie
Aviculture
Mycoplasme
Virale
Poulet de chair
Elevage

A l'occasion de la Journée Nationale Avicole

Etude des co-infections dans les syndromes respiratoires aigus dans les élevages de poulet de chair en Tunisie

Mercredi 8 Novembre 2017

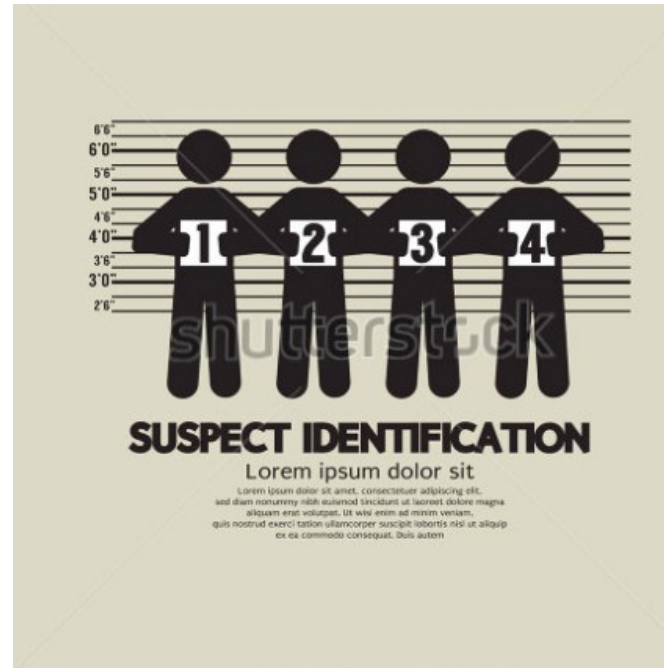
Présentée par:
Dr. Adam JBENYENI

Travail encadré par:
Pr. Moncef Bouzouaia
Pr. Jean-Luc Guérin

En collaboration avec:



POURQUOI ?



LE PROJET



Objectifs

Rechercher les co-infections respiratoires dans les élevages de PC en Tunisie

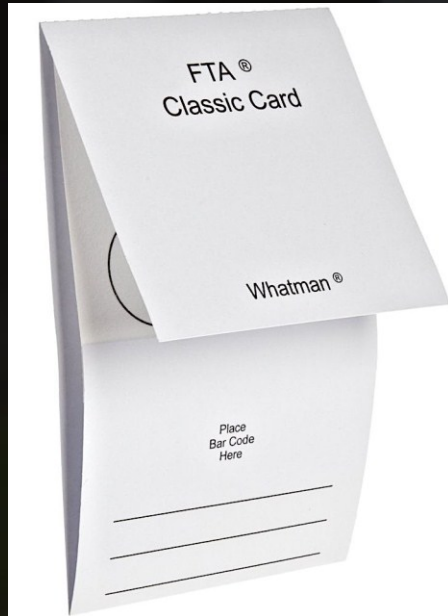
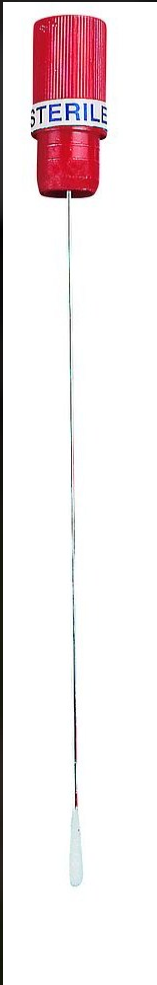
Déterminer leur fréquence et les profils de co-infection



Matériel et méthodes



Matériel et méthodes



Carte FTA

A screenshot of a digital form titled "Fiche d'accompagnement de prélèvement". The form is displayed on a purple background. The title is "Fiche d'accompagnement de prélèvement". Below the title, there is a subtitle: "Etude des co-infections dans les syndromes respiratoires chez les volailles de chair en Tunisie". The form has a "Date" field with a calendar icon and a label "Mois, jour, année". Below that is an "Identifiant du prélèvement" field. At the bottom, there is a "Réponse courte" field. The form is part of a larger application with a purple header and a navigation bar.

Fiche d'accompagnement de prélèvement

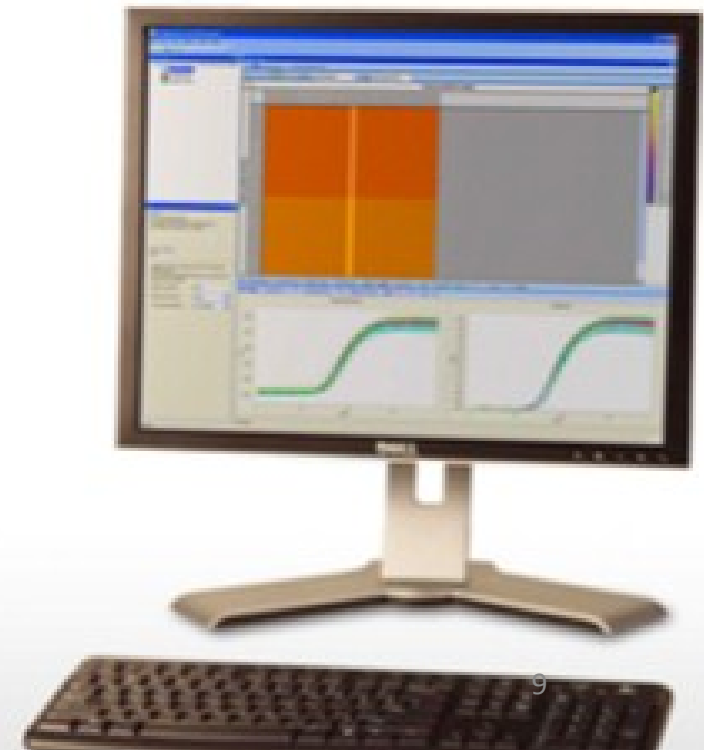
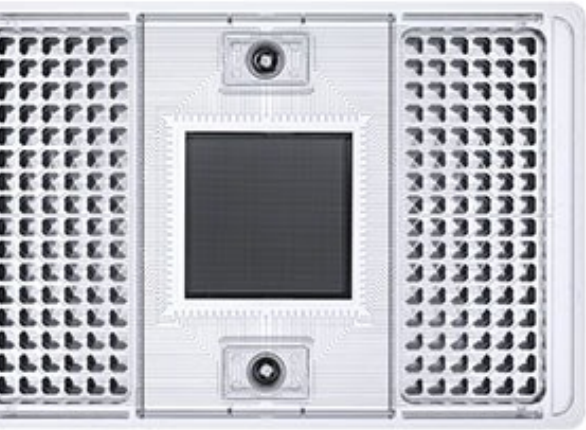
Matériel et méthodes

1. Extraction d'ARN/ADN
2. Transcription inverse
3. rt-qPCR monoplex (Lightcycler Roche®)
4. **rt-qPCR multiplex (Plateforme BioMark®)**

| Agent pathogène | |
|--|--|
| • Virus Influenza A |  |
| • Virus Influenza H5 | |
| • Virus Influenza H6 | |
| • Virus Influenza H7 | |
| • Virus Influenza H9 | |
| • Metapneumovirus subtype A & B | |
| • Paramyxovirus-1 (VMN) | |
| • Virus de la bronchite infectieuse | |
| • Virus de la laryngotracheite infectieuse |  |
| • Mycoplasma gallisepticum | |
| • Mycoplasma synoviae | |
| • Bordetella avium | |
| • Ornithobacterium rhinotracheale | |
| • Pasteurella multocida | |
| • Riemerella anatipestifer | |
| • Chlamydia psittaci | |
| • Avibacterium paragallinarum | |
| • Escherichia coli (4 sous-types) | |
| • 16S ARN | |
| • Aspergillus fumigatus | |

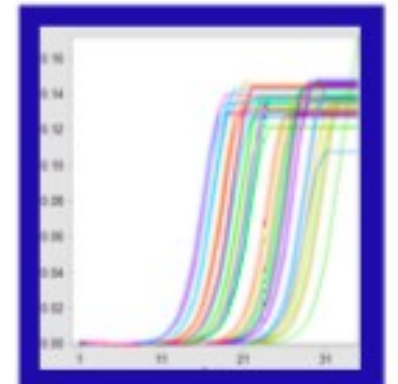
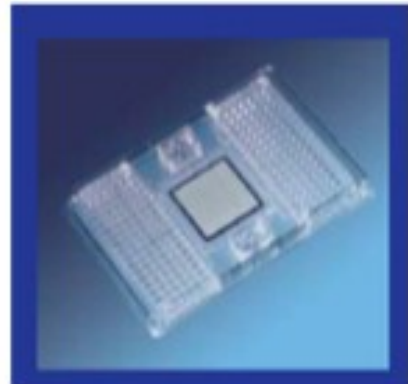
Matériel et méthodes

Plateforme BioMark®



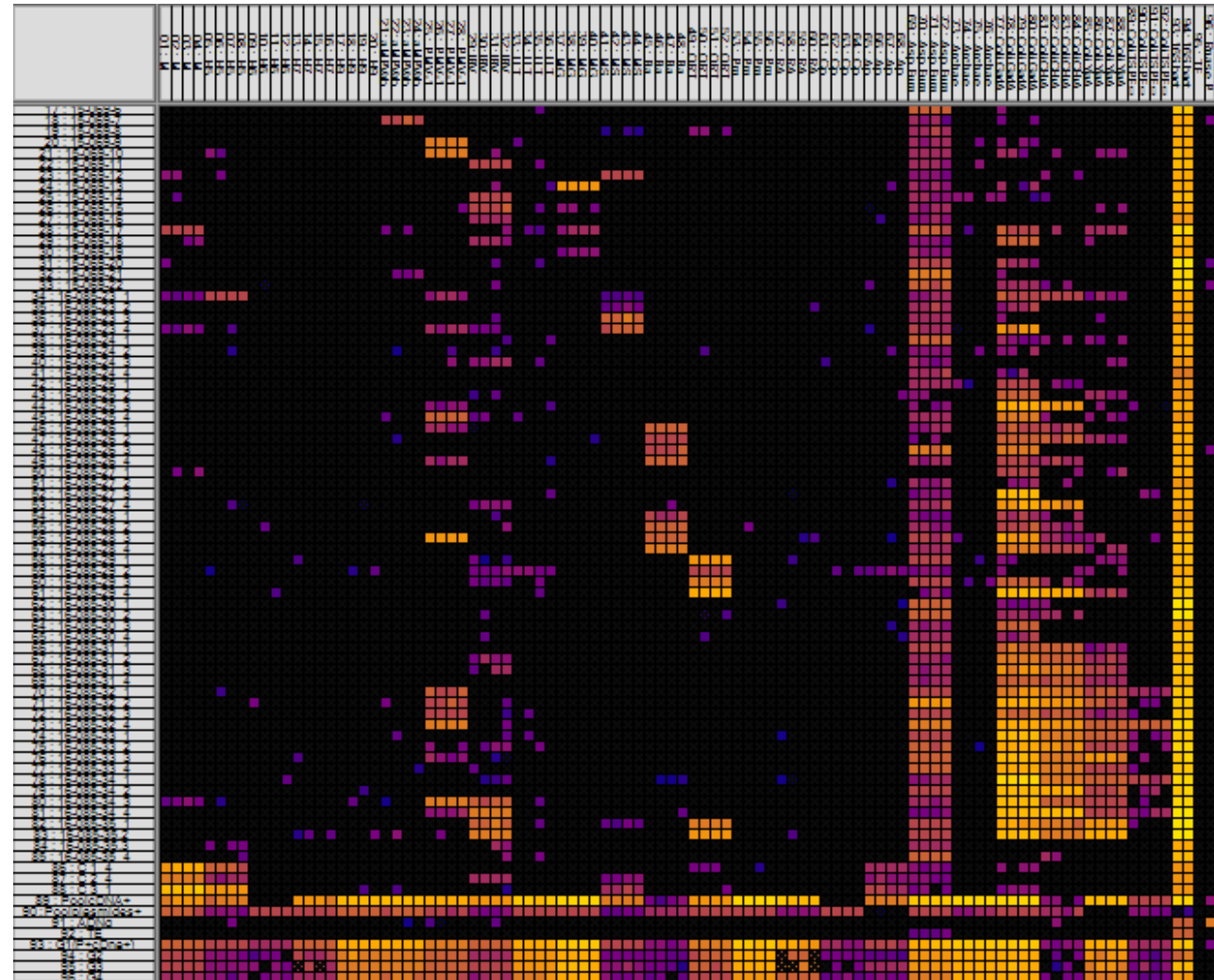
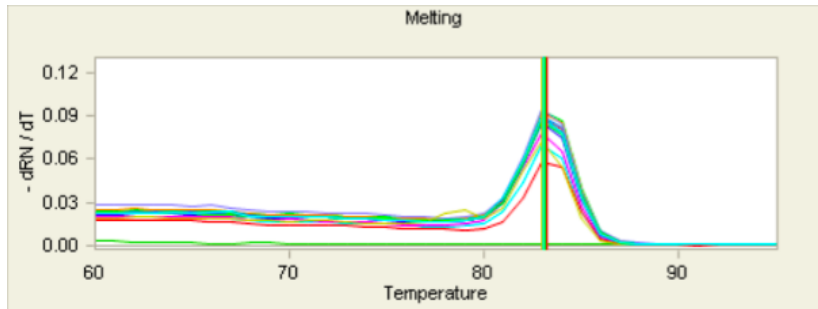
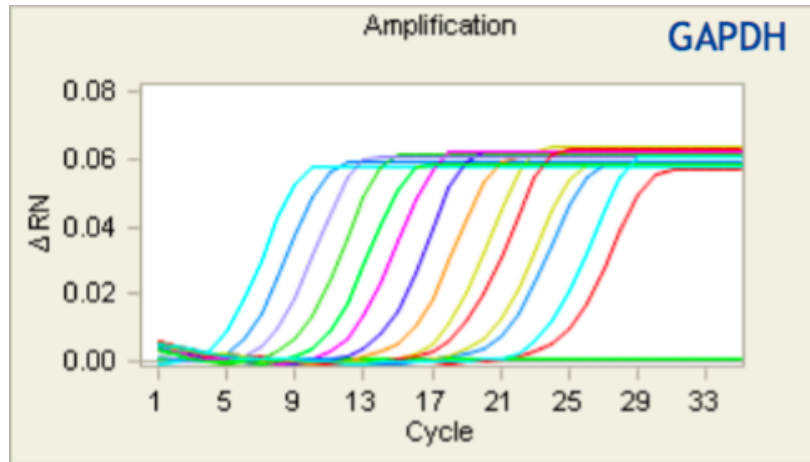
Matériel et méthodes

Workflow rt-qPCR BioMark®

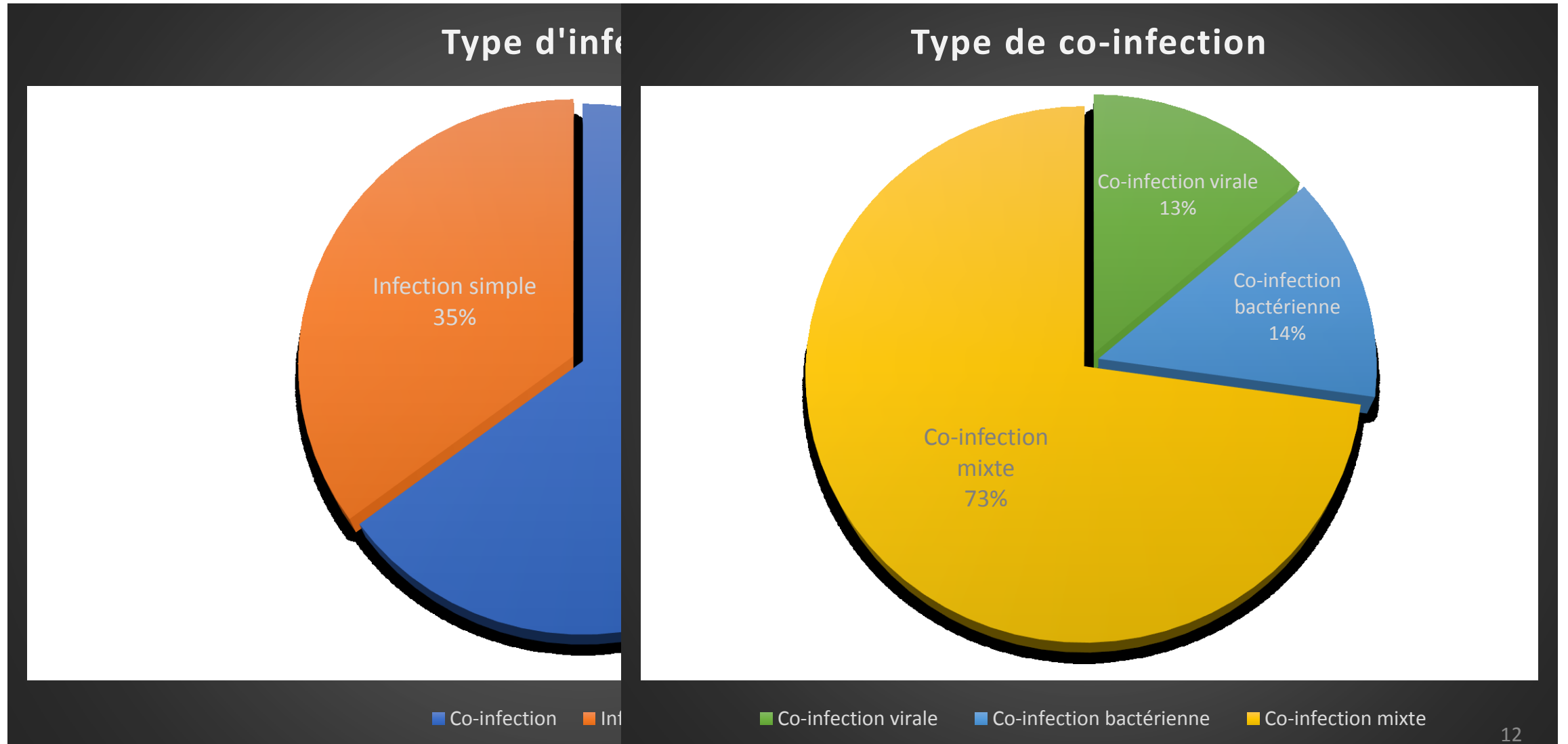


Matériel et méthodes

Heat map



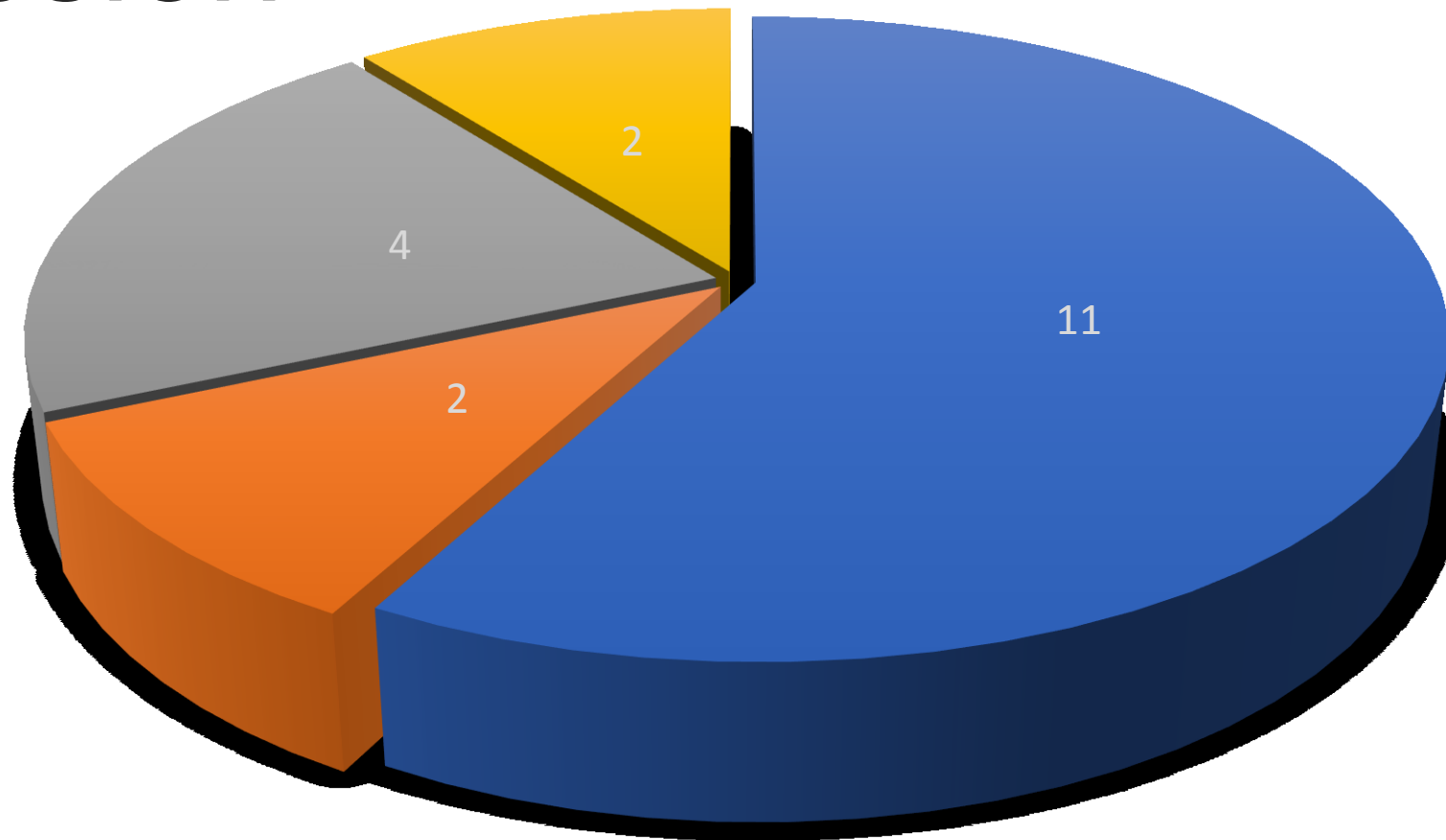
Résultat et discussion



Résultat et

Discussion

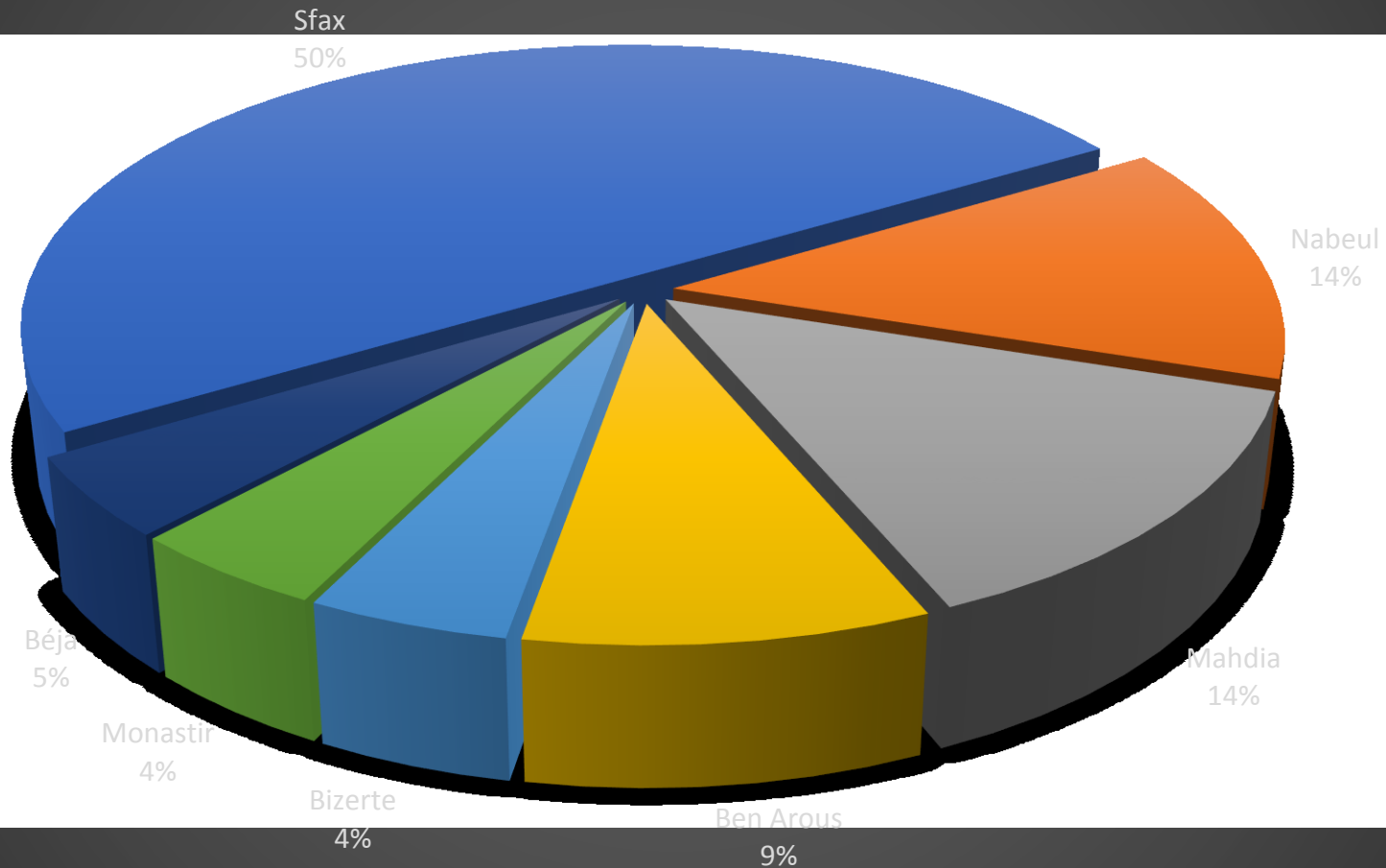
Coinfection par nombre d'agent responsable



■ Deux agents ■ Trois agents ■ Quatre agents ■ Cinq ou plus

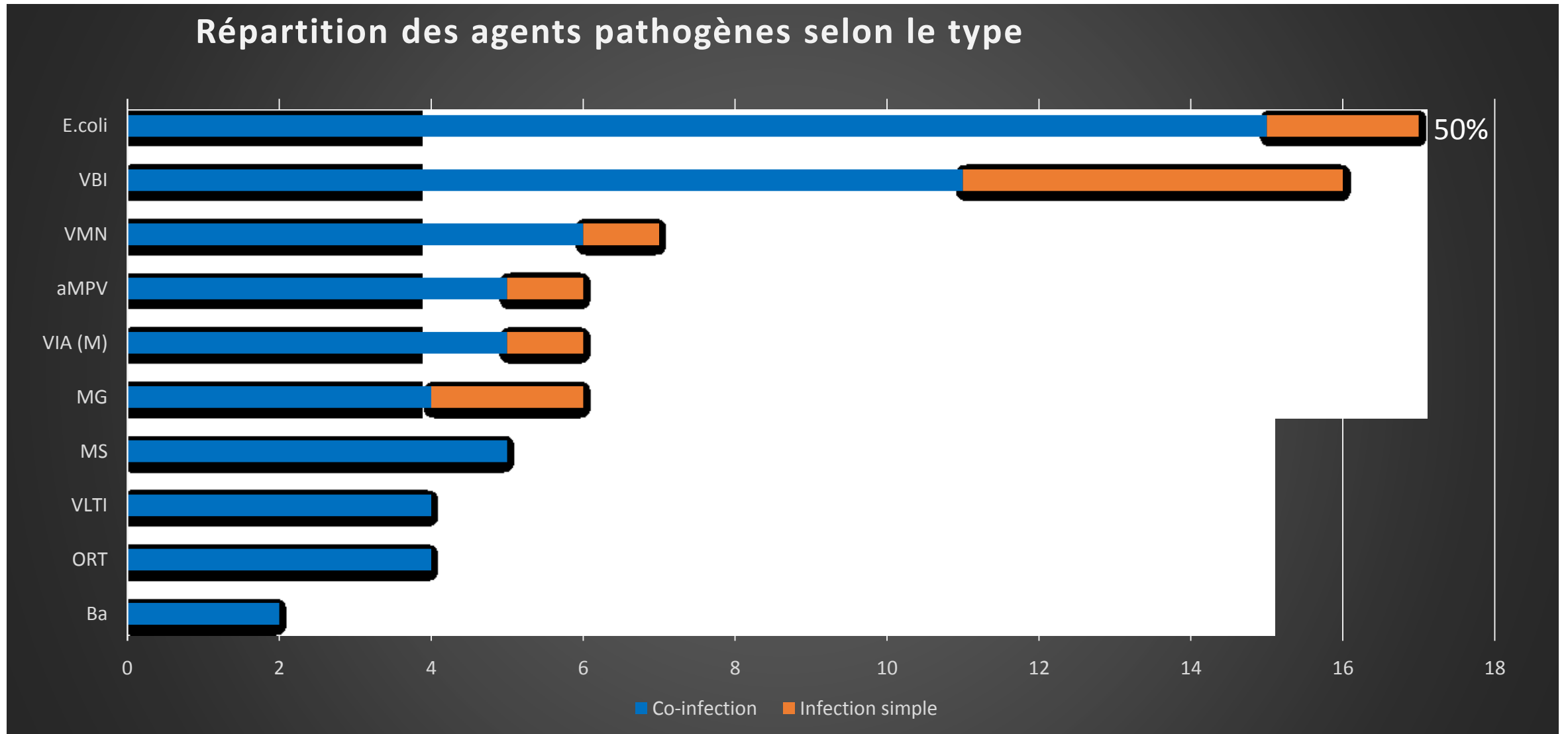
Résultat et discussion

Co-infection par gouvernorat



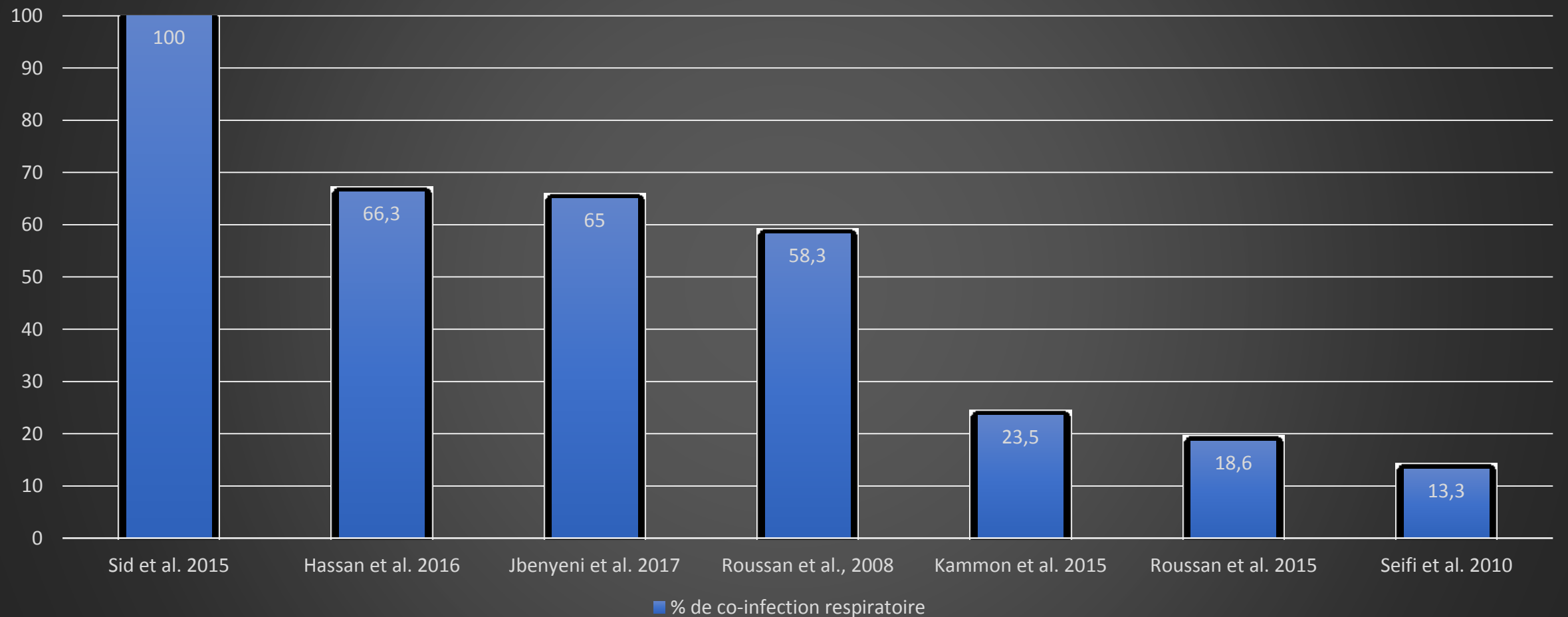
■ Sfax ■ Nabeul ■ Mahdia ■ Ben Arous ■ Bizerte ■ Monastir ■ Béja

Résultat et discussion



Résultat et discussion

% de co-infection respiratoire



Conclusion

- IL est confirmé que la pathologie respiratoire est complexe
- Les co-infections respiratoires existe dans les élevages
Tunisien de PC
- La bronchite infectieuse est l'agent viral le plus co-infectant

Merci pour votre attention